

10,11,05

# Компьютерное моделирование фазовых переходов и критических свойств фрустрированной модели Гейзенберга на кубической решетке

© М.К. Рамазанов<sup>1,2</sup>, А.К. Муртазаев<sup>1,2</sup>

<sup>1</sup> Институт физики ДФИЦ РАН,  
Махачкала, Россия

<sup>2</sup> Дагестанский федеральный исследовательский центр РАН,  
Махачкала, Россия

E-mail: sheikh77@mail.ru

Поступила в Редакцию 30 декабря 2019 г.

В окончательной редакции 30 декабря 2019 г.

Принята к публикации 10 января 2020 г.

Методом Монте-Карло выполнены исследования фазовых переходов и критических свойств антиферромагнитной модели Гейзенберга на кубической решетке с учетом взаимодействий первых и вторых ближайших соседей. Рассмотрен диапазон значений величины взаимодействия вторых ближайших соседей  $0.0 \leq r \leq 1.0$ . Построена фазовая диаграмма зависимости критической температуры от величины взаимодействия вторых ближайших соседей. Показано, что в рассмотренном интервале значений  $r$  наблюдается фазовый переход второго рода. Используя теорию конечно-размерного скейлинга, рассчитаны значения всех основных статических критических индексов. Показано, что класс универсальности критического поведения этой модели сохраняется в диапазоне значений  $0.0 \geq r \geq 0.4$ .

**Ключевые слова:** фрустрации, фазовые переходы, метод Монте-Карло, модель Гейзенберга.

DOI: 10.21883/FTT.2020.06.49340.30M

## 1. Введение

В настоящее время продолжается активное исследование фазовых переходов (ФП) и критических свойств в спиновых системах с конкурирующим обменным взаимодействием. Конкуренция обменного взаимодействия может привести к возникновению в системе эффектов фрустрации. Наличие фрустраций в системе приводит к целому ряду изменений свойств фундаментального характера [1–4]. Спиновые системы с фрустрациями во многом проявляют свойства, отличные от соответствующих нефрустрированных систем. Это отличие выражается в богатом разнообразии фаз и ФП, сильным вырождением основного состояния и высокой чувствительности фрустрированных систем к различного рода возмущающим взаимодействиям [4,5].

В настоящее время получено достаточно большое количество интересных результатов для двумерной и трехмерной модели Изинга с конкурирующими обменными взаимодействиями на различных типах решеток [6–11]. ФП и критические свойства классической модели Гейзенберга с конкурирующими обменными взаимодействиями для трехмерного случая практически не исследованы.

В данной работе, нами на основе репличного алгоритма метода Монте-Карло (МК) проведено исследование ФП и критических свойств антиферромагнитной модели Гейзенберга на кубической решетке с учетом взаимодействий первых и вторых ближайших соседей

в диапазоне  $0.0 \geq r \geq 1.0$ , где  $r = J_2/J_1$  — величина взаимодействия вторых ближайших соседей ( $J_1$  и  $J_2$  — константы обменного взаимодействия первых и вторых ближайших соседей, соответственно).

Интерес к исследуемой модели обусловлен тем что, при учете антиферромагнитных взаимодействий вторых ближайших соседей внутри слоев данная модель становится фрустрированной. В спиновых системах с фрустрациями многие физические свойства сильно зависят от величины взаимодействия вторых ближайших соседей. Кроме того, антиферромагнитная модель Гейзенберга на кубической решетке с учетом взаимодействия первых и вторых ближайших соседей до сих пор является малоизученной. Таким образом, исследование этой модели на основе современных методов позволит получить ответ на ряд вопросов, связанных с ФП и критическими свойствами фрустрированных спиновых систем.

## 2. Модель и метод исследования

Антиферромагнитная модель Гейзенберга с учетом взаимодействий первых и вторых ближайших соседей описывается следующим гамильтонианом:

$$H = -J_1 \sum_{\langle i,j \rangle} (\mathbf{S}_i \cdot \mathbf{S}_j) - J_2 \sum_{\langle i,l \rangle} (\mathbf{S}_i \cdot \mathbf{S}_l) \quad (1)$$

где  $\mathbf{S}_i$  — трехкомпонентный единичный вектор  $\mathbf{S}_i = (S_i^x, S_i^y, S_i^z)$ . Решетка состоит из двумерных квадратных слоев, сложенных по ортогональной оси. Первый

член в формуле (1) характеризует антиферромагнитное взаимодействие всех ближайших соседей, которое берется одинаковым как внутри слоев, так и между слоями ( $J_1 < 0$ ). Второй член характеризует антиферромагнитное взаимодействие вторых ближайших соседей, находящихся в том же слое ( $J_2 < 0$ ).

В настоящее время ФП и критические свойства фрустрированных спиновых систем на основе микроскопических гамильтонианов довольно успешно изучаются методами МК [12–18]. Методы МК позволяют исследовать физические свойства спиновых систем практически любой сложности. На их основе, на сегодняшний день, изучены целые классы спиновых систем и рассчитаны критические индексы широкого спектра моделей. В данном исследовании был использован репличный обменный алгоритм метода МК [19], который является наиболее мощным и эффективным инструментом для исследования фрустрированных спиновых систем.

### 3. Результаты моделирования

Расчеты проводились для систем с периодическими граничными условиями и с линейными размерами  $L \times L \times L = N$ ,  $L = 24–60$ . Для вывода системы в состояние термодинамического равновесия отсекался участок длиной  $\tau_0 = 4 \cdot 10^5$  МК шагов/спин, что в несколько раз больше длины неравновесного участка. Усреднение термодинамических величин проводилось вдоль марковской цепи длиной  $\tau = 500\tau_0$  МК шагов/спин.

Для наблюдения за температурным ходом теплоемкости  $C$  и восприимчивости  $\chi$  использовались выражения [20]:

$$C = (NK^2) (\langle U^2 \rangle - \langle U \rangle^2), \quad (2)$$

$$\chi = \begin{cases} (NK) (\langle m^2 \rangle - \langle |m| \rangle^2), & T < T_N \\ (NK) \langle m^2 \rangle, & T \geq T_N \end{cases}, \quad (3)$$

где  $K = |J_1|/k_B T$ ,  $N$  — число частиц,  $T_N$  — критическая температура,  $U$  — внутренняя энергия,  $m$  — параметр порядка ( $U$  и  $m$  являются нормированными величинами).

Расчет параметра порядка системы  $m$  был выполнен на основе выражения вида:

$$m_i = \frac{4}{N} \sum_{i \in \lambda} (-1)^z S, \quad \text{где } \lambda = 1, 2, 3, 4, \quad (4)$$

$$m^a = [m_1 + m_2 - (m_3 + m_4)]/4, \quad (5)$$

$$m^b = [m_1 + m_4 - (m_2 + m_3)]/4, \quad (6)$$

$$m = \sqrt{(m^a)^2 + (m^b)^2}. \quad (7)$$

где  $m_1, m_2, m_3, m_4$  — параметр порядка по подрешеткам,  $z$  — номер слоя решетки.

На рис. 1 и 2 представлены температурные зависимости параметра порядка при  $L = 30$  для различных значений  $r$  (здесь и далее статистическая погрешность не превышает размеров символ, использованных для

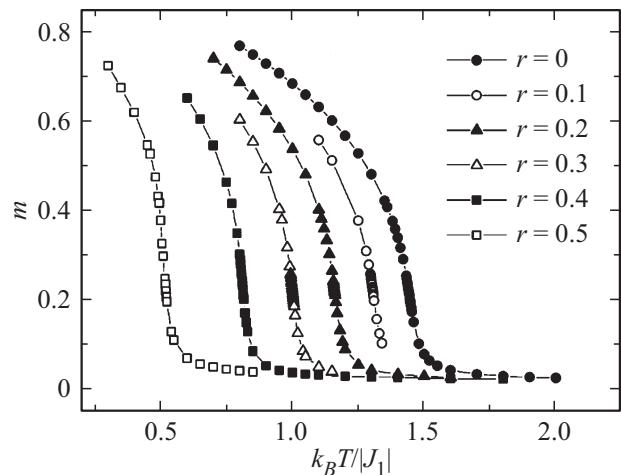


Рис. 1. Зависимость параметра порядка  $m$  от температуры  $k_B T / |J_1|$  для значений  $r$  в интервале  $0 \leq r \leq 0.5$ .

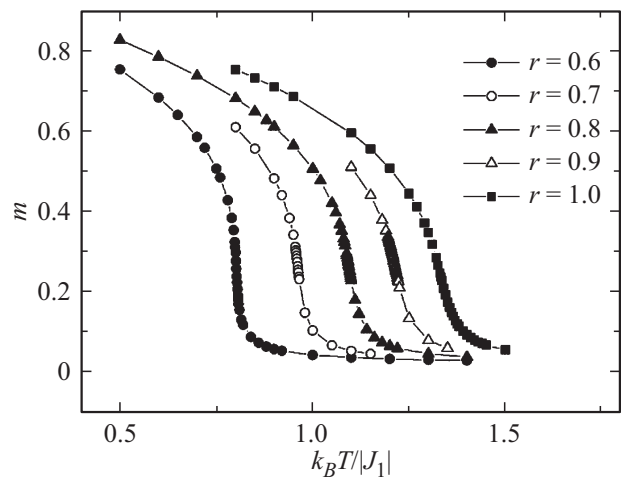


Рис. 2. Зависимость параметра порядка  $m$  от температуры  $k_B T / |J_1|$  для значений  $r$  в интервале  $0.6 \leq r \leq 1.0$ .

построения зависимостей). Отметим, что с увеличением значения  $r$  в интервале  $0.0 \leq r \leq 0.5$  спад параметра порядка сдвигается в сторону более низких температур. В интервале  $0.6 \leq r \leq 1.0$ , мы наблюдаем противоположную картину. С увеличением  $r$  от 0.6 до 1.0 спад параметра порядка смещается в сторону более высоких температур.

На рис. 3 и 4 представлены температурные зависимости восприимчивости, полученные при  $L = 30$  для различных значений  $r$ . Отметим, что увеличение значения  $r$  в интервале  $0.0 \leq r \leq 0.5$  сопровождается сдвигом максимумов в сторону более низких температур, одновременно с этим наблюдается рост абсолютных значений максимумов восприимчивости. Рост абсолютных значений максимумов происходит за счет конкуренции первых и вторых ближайших соседей. В случае, когда  $0.6 \leq r \leq 1.0$ , наблюдаем противоположную картину. С увеличением  $r$  от 0.6 до 1.0 наблюдается спад

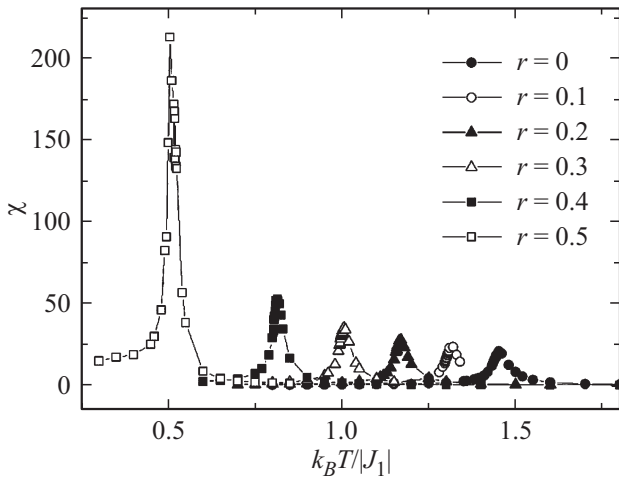


Рис. 3. Зависимость восприимчивости  $\chi$  от температуры  $k_B T / |J_1|$  для значений  $r$  в интервале  $0 \leq r \leq 0.5$ .

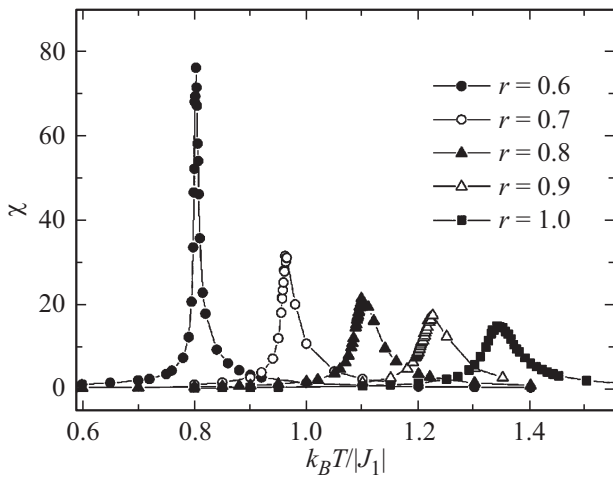


Рис. 4. Зависимость восприимчивости  $\chi$  от температуры  $k_B T / |J_1|$  для значений  $r$  в интервале  $0.6 \leq r \leq 1.0$ .

абсолютных значений максимумов восприимчивости и максимумы смещаются в сторону более высоких температур.

Увеличение взаимодействия вторых ближайших соседей в этом интервале, приводит к увеличению энергии взаимодействия по модулю, что укрепляет жесткость системы и соответственно повышается температура фазового перехода.

Для определения критической температуры  $T_N$ , нами использовался метод кумулянтов Биндера  $U_L$  четвертого порядка [21]:

$$U_L = 1 - \frac{\langle m^4 \rangle}{3 \langle m^2 \rangle_L^2}, \quad (8)$$

Согласно теории конечноразмерного скейлинга точка пересечения всех кривых  $U_L(T)$  является критической точкой [21]. Выражение (8) позволяет определить критическую температуру  $T_N$  с большой точностью.

На рис. 5 представлены характерные зависимости  $U_L$  от температуры при  $r = 0.7$  для разных значений  $L$ . Рисунок демонстрирует точность определения критической температуры. Видно, что в критической области наблюдается четко выраженная точка пересечения ( $T_N = 0.963$ ; здесь и далее температура дана в единицах  $|J_1|/k_B$ ). Аналогичным образом были определены критические температуры и для остальных значений  $r$ .

На рис. 6 приведена фазовая диаграмма зависимости критической температуры от величины взаимодействия вторых ближайших соседей.

На диаграмме видно, что вблизи значения  $r = 0.5$  пересекаются три различные фазы: антиферромагнитная — I, парамагнитная — II и суперантиферромагнитная — III. Как было показано в работе [22], для всех рассматриваемых значений  $r$  наблюдаются ФП второго рода.

Для расчета статических критических индексов теплоемкости  $\alpha$ , параметра порядка  $\beta$ , восприимчивости  $\gamma$  и радиуса корреляции  $\nu$  применялись соотношения теории конечно-размерного скейлинга. Из теории конечно-

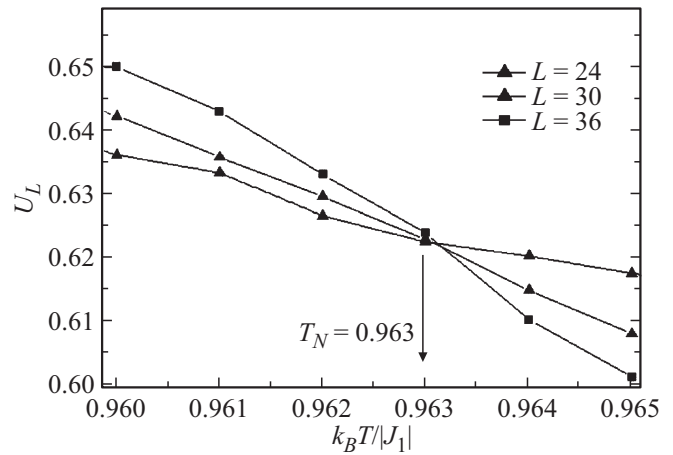


Рис. 5. Зависимости кумулянта Биндера  $U_L$  от температуры  $k_B T / |J_1|$  для  $r = 0.7$  при различных  $L$ .

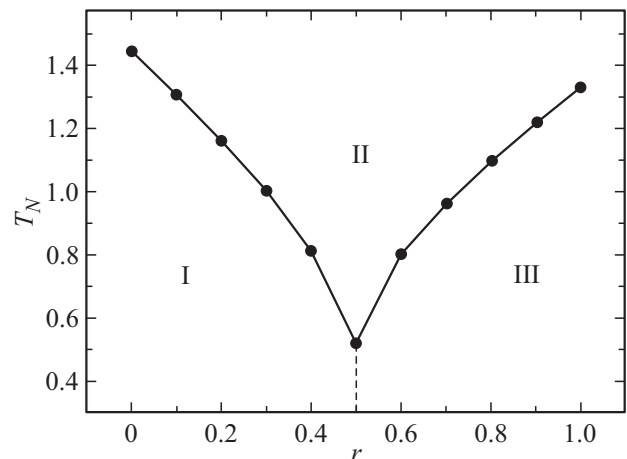


Рис. 6. Фазовая диаграмма зависимости критической температуры от величины взаимодействия вторых ближайших соседей.

Значения коийических параметров для антиферромагнитной модели Гейзенберга на кубической решетке

$r$	$k_B T_N /  J_1 $	$\nu$	$\alpha$	$\beta$	$\gamma$	$\eta$	$\alpha + 2\beta + \gamma = 2$
Нефрустрированная модель Гейзенберга [22]	1.443(1)	0.7112(5)	-0.01336(15)	0.3689(3)	1.3960(9)	0.0375(5)	2
0.0	1.443(1)	0.712(5)	-0.134(5)	0.366(5)	1.393(5)	0.036(5)	2
0.1	0.307(1)	0.710(5)	-0.132(5)	0.364(5)	1.390(5)	0.032(5)	1.98
0.2	1.160(1)	0.711(5)	-0.133(5)	0.362(5)	0.392(5)	1.034(5)	1.98
0.3	1.000(1)	0.713(5)	-0.136(5)	0.365(5)	1.391(5)	0.033(5)	1.99
0.4	0.811(1)	0.712(5)	-0.133(5)	0.363(5)	1.393(5)	0.035(5)	1.99
0.6	0.802(1)	0.650(5)	0.161(5)	0.295(5)	1.259(5)	0.06(2)	2.01
0.7	0.963(1)	0.648(5)	0.163(5)	0.293(5)	1.256(5)	0.05(2)	2
0.8	1.096(1)	1.647(5)	0.162(5)	0.291(5)	1.258(5)	0.05(2)	2
0.9	1.219(1)	0.651(5)	0.164(5)	0.292(5)	1.257(5)	0.07(2)	2.01
1.0	1.332(1)	0.649(5)	0.165(5)	0.295(5)	1.259(5)	0.06(2)	2.01

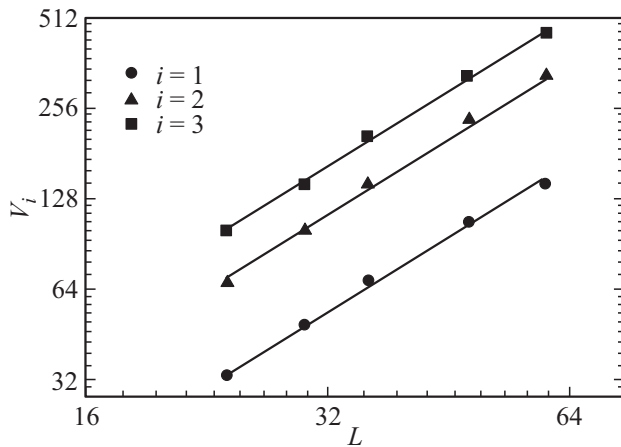


Рис. 7. Зависимость параметра  $V_i$  от линейных размеров системы  $L$  при  $T = T_N$  для  $r = 0.7$ .

размерного скейлинга следует, что в системе с размерами  $L \times L \times L$  при  $k_B T / |J_1| = k_B T_N / |J_1|$  и достаточно больших  $L$  выполняются следующие выражения [23–25]:

$$m \sim L^{-\beta/\nu}, \tag{9}$$

$$\chi \sim L^{\gamma/\nu}, \tag{10}$$

$$V_i \sim L^{1/\nu} g_{V_i}, \tag{11}$$

где  $g_{V_i}$  — постоянная, а в качестве  $V_i$  могут выступать

$$V_i = \frac{\langle m^i E \rangle}{\langle m^i \rangle} - \langle E \rangle, \quad (i = 1, 2, 3). \tag{12}$$

Эти выражения были нами использованы для определения значений критических индексов  $\beta$ ,  $\gamma$  и  $\nu$ .

Для аппроксимации температурной зависимости теплоемкости от  $L$  на практике, как правило, используется выражение [6]:

$$C_{\max}(L) = A_1 - A_2 L^{\alpha/\nu}, \tag{13}$$

где  $A_1$  и  $A_2$  — некоторые коэффициенты.

На рис. 7 в двойном логарифмическом масштабе представлены характерные зависимости параметров  $V_i$  при  $i = 1, 2, 3$  от линейных размеров решетки  $L$  для  $r = 0.7$ . Как видно из рисунка все точки на графиках в пределах погрешности хорошо ложатся на прямую. Зависимости на рисунке, проведенные в соответствии с методом наименьших квадратов, параллельны друг другу. Угол наклона прямой определяет значение  $1/\nu$ . Вычисленное таким образом значение  $\nu$  использовалось для определения критических индексов теплоемкости  $\alpha$ , параметра порядка  $\beta$  и восприимчивости  $\gamma$ .

На рис. 8 и 9 в двойном логарифмическом масштабе представлены характерные зависимости магнитного параметра порядка  $m$  и восприимчивости  $\chi$  от линейных размеров решетки  $L$  для  $r = 0.7$ . Все точки в пределах погрешности ложатся на прямые. Углы наклона этих прямых определяют значения  $\beta/\nu$  и  $\gamma/\nu$ . По этой схеме было определено значение и для теплоемкости  $\alpha/\nu$ . Имея данные по  $\nu$ , вычислялись статические критические индексы  $\alpha$ ,  $\beta$  и  $\gamma$ .

Эта процедура использовалась для расчета критических индексов для всех рассмотренных значений  $r$ . Все значения статических критических индексов, полученные таким образом, представлены в таблице. Процедура, использованная нами для определения индекса Фишера  $\eta$  более подробно изложена в работе [26]. Данные, полученные нами для индекса Фишера  $\eta$  также представлены в таблице.

Отметим, что для значения  $r = 0.5$  рассчитать критические индексы с допустимой погрешностью не удалось. Предполагаем, что это связано с тем, что в этой точке сосуществуют три различные фазы.

Как видно в таблице, критическая температура  $k_B T_N / |J_1|$  уменьшается с увеличением величины взаимодействия вторых ближайших соседей вплоть до значения  $r = 0.6$ . При дальнейшем увеличении  $r$  критическая температура начинает расти. Все значения критических индексов, рассчитанные нами в интервале  $0.0 \leq r \leq 0.4$ , в пределах погрешности совпадают со значениями кри-

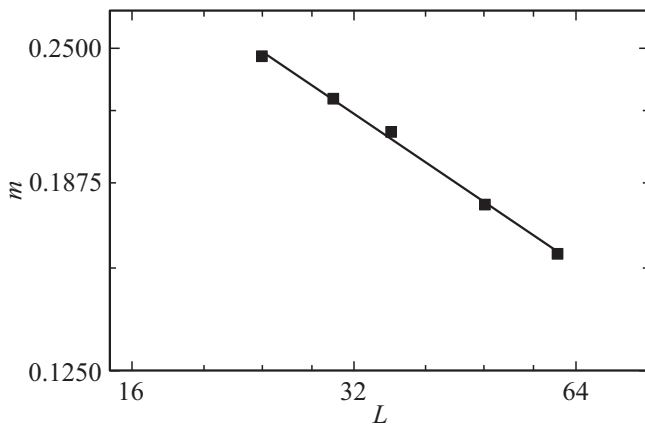


Рис. 8. Зависимость параметра порядка  $m$  от линейных размеров системы  $L$  при  $T = T_N$  для  $r = 0.7$ .

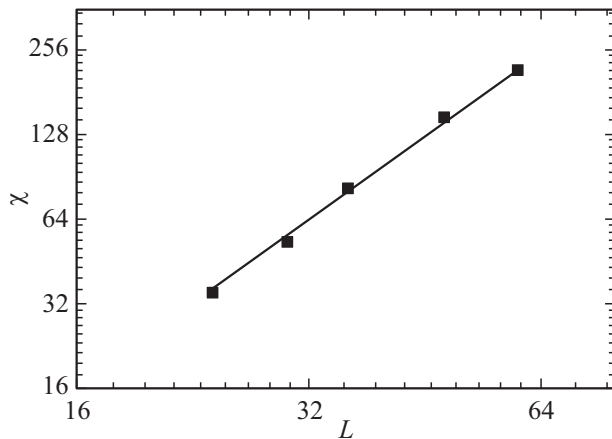


Рис. 9. Зависимость восприимчивости  $\chi$  от линейных размеров системы  $L$  при  $T = T_N$  для  $r = 0.7$ .

тических индексов трехмерной нефрустрированной модели Гейзенберга [27]. Это свидетельствует о принадлежности данной модели в интервале  $0.0 \leq r \leq 0.4$  к тому же классу универсальности критического поведения, что и нефрустрированная модель Гейзенберга. Значения критических индексов, рассчитанные нами в интервале  $0.6 \leq r \leq 1.0$  сильно отличаются от данных, полученных в интервале  $0.0 \leq r \leq 0.4$ . Можно предположить, что учет взаимодействий вторых ближайших соседей внутри слоев решетки для антиферромагнитной модели Гейзенберга на кубической решетке приводит к смене класса универсальности критического поведения.

#### 4. Заключение

Исследование фазовых переходов и критического поведения антиферромагнитной модели Гейзенберга на кубической решетке с учетом взаимодействия первых и вторых ближайших соседей внутри слоев решетки выполнено с использованием высокоэффективного репликального алгоритма метода Монте-Карло. Построена фа-

зовая диаграмма зависимости критической температуры от величины взаимодействия вторых ближайших соседей. Определены значения критических температур и рассчитаны значения всех основных статических критических индексов в интервале  $0.0 \leq r \leq 1.0$ . Установлены закономерности изменения критических параметров в рассмотренном интервале  $r$ . Обнаружено, что в интервале  $0.0 \leq r \leq 0.4$  система проявляет универсальное критическое поведение. Показано, что в рассматриваемой модели в интервале  $0.6 \leq r \leq 1.0$  наблюдается другое критическое поведение.

#### Финансирование работы

Исследование выполнено при финансовой поддержке Российского фонда фундаментальных исследований в рамках научных проектов № 19-02-00153-а и 18-32-20098-мол-а-вед.

#### Конфликт интересов

Авторы заявляют, что у них нет конфликта интересов.

#### Список литературы

- [1] Вик.С. Доценко. УФН **165**, 481 (1995).
- [2] С.Е. Коршунов. УФН **176**, 233 (2006).
- [3] С.В. Малеев. УФН **172**, 617 (2002).
- [4] М.К. Ramazanov, А.К. Murtazaev, М.А. Magomedov. Solid State Comm. **233**, 35 (2016).
- [5] D.P. Landau, K. Binder. Monte Carlo Simulations in Statistical Physics. Cambridge University Press, Cambridge (2000). P. 384.
- [6] А.К. Муртазаев, М.К. Рамазанов, М.К. Бадиев. ФНТ **37**, 1258 (2011).
- [7] A. Kalz, A. Honecker. Phys. Rev. B **86**, 134410 (2012).
- [8] S. Jin, A. Sen, A.W. Sandvik. Phys. Rev. Lett. **108**, 045702 (2012).
- [9] S. Jin, A. Sen, W. Guo, A.W. Sandvik. Phys. Rev. B **87**, 144406 (2013).
- [10] М.К. Рамазанов, А.К. Муртазаев. Письма в ЖЭТФ **101**, 793 (2015).
- [11] М.К. Рамазанов, А.К. Муртазаев. Письма в ЖЭТФ **103**, 522 (2016).
- [12] А.К. Murtazaev, М.К. Ramazanov, D.R. Kurbanova, М.А. Magomedov, K.Sh. Murtazaev. Mater. Lett. **236**, 669 (2019).
- [13] А.К. Murtazaev, М.К. Ramazanov, М.К. Badiev. Physica A **507**, 210 (2018).
- [14] М.К. Ramazanov, А.К. Murtazaev, М.А. Magomedov. Physica A **521**, 543 (2019).
- [15] А.К. Муртазаев, М.К. Рамазанов, М.К. Мазагаева, М.А. Магомедов. ЖЭТФ **156**, 502 (2019).
- [16] А.К. Муртазаев, М.К. Рамазанов, Д.Р. Курбанова, М.К. Бадиев. ФТТ **60**, 1162 (2018).
- [17] А.К. Муртазаев, М.К. Рамазанов, Д.Р. Курбанова, М.А. Магомедов, М.К. Бадиев, М.К. Мазагаева. ФТТ **61**, 1170 (2019).

- [18] А.К. Муртазаев, М.К. Рамазанов, М.К. Бадиев. ФТТ **61**, 1898 (2019).
- [19] A. Mitsutake, Y. Sugita, Y. Okamoto. Biopolymers (Peptide Science) **60**, 96 (2001).
- [20] K. Binder, J.-Sh. Wang. J. Statist. Phys. **55**, 87 (1989).
- [21] K. Binder, D.W. Heermann. Monte Carlo Simulation in Statistical Physics. Springer-Verlag, Berlin (1988); Nauka, M. (1995). P. 214.
- [22] М.К. Рамазанов, А.К. Муртазаев. Письма в ЖЭТФ **109**, 610 (2019).
- [23] A.E. Ferdinand, M.E. Fisher. Phys. Rev. **185**, 832 (1969).
- [24] M.E. Fisher, M.N. Barber. Phys. Rev. Lett. **28**, 1516 (1972).
- [25] P. Peczak, A.M. Ferrenberg, D.P. Landau. Phys. Rev. B **43**, 6087 (1991).
- [26] А.К. Муртазаев, М.К. Рамазанов. ФТТ **59**, 1797 (2017).
- [27] M. Campostrini, M. Hasenbusch, A. Pelissetto. Phys. Rev. B **65**, 144520 (2002).

*Редактор Т.Н. Василевская*